

01; 06

**ВЛИЯНИЕ МАГНИТНОЙ АНИЗОТРОПИИ
ФЕРРОДИЭЛЕКТРИЧЕСКИХ ПЛЕНОК
НА ПАРАМЕТРИЧЕСКУЮ НЕСТАБИЛЬНОСТЬ СПИНОВЫХ ВОЛН
ПРИ ПРОДОЛЬНОЙ НАКАЧКЕ**

Б. А. Калиникос, Н. В. Кожусь

Рассмотрено параметрическое возбуждение спиновых волн при учете специфических особенностей, присущих пленочным ферромагнетикам. Получены аналитическое выражение для закона дисперсии дипольно-обменных спиновых волн в анизотропных пленках и пороговые формулы, определяющие условия возникновения параметрической нестабильности при продольной гармонической накачке. На примере монокристаллических пленок железо-иттриевого граната проанализировано влияние кубической и одноосной анизотропии на пороги параметрического возбуждения спин-системы при касательном и нормальном намагничивании.

В последнее время активно исследуются процессы параметрического возбуждения спиновых волн (СВ) в монокристаллических пленках ферродиэлектриков [1-6]. Интерес к этому явлению связан с перспективой создания линейных и нелинейных спин-волновых устройств, осуществляющих аналоговую обработку сигналов в диапазоне СВЧ. Интерпретация результатов экспериментов по параметрическому возбуждению спиновых волн в анизотропных пленках (даже слабоанизотропных, к которым относятся широко используемые пленки железо-иттриевого граната (ЖИГ)) оказывается затруднена. Дело в том, что существующие теории параметрического возбуждения спиновых волн либо не учитывают специфических «пленочных» особенностей (размерных эффектов) (см. [7] и литературу в ней), либо выполнены в пренебрежении магнитной анизотропией [8, 9].

Целью настоящей работы является теоретическое исследование параметрической нестабильности, возникающей в режиме продольной накачки в анизотропных ферромагнитных пленках, намагниченных полем произвольной ориентации.

Решение задачи проведем в рамках классического подхода. Для совместного интегрирования уравнения движения намагниченности и уравнений Максвелла используем аппарат функций Грина с разложением переменной намагниченности в ряд по спин-волновым модам [10].

Уравнение движения Ландау—Лифшица запишем в системе координат xyz , ось z которой параллельна равновесной намагниченности M_0 , а ось y лежит в плоскости пленки (рис. 1),

$$\frac{\partial \mathbf{m}}{\partial t} = -|g|\mu_0[M_0 \times \mathbf{h}^a + M_0 \times \mathbf{h}_{ob} + \mathbf{M}_0 \times \mathbf{h}_g + \mathbf{m} \times \mathbf{H}_0^{eff} + \mathbf{m} \times \mathbf{h}]. \quad (1)$$

Здесь $\mathbf{m}(r, t)$ — переменная компонента намагниченности $\mathbf{M}(r, t)$; $\mathbf{h}^a(r, t)$ — переменное эффективное поле анизотропии; $\mathbf{h}_{ob}(r, t) = \alpha \nabla^2 \mathbf{m}$ — переменное поле неоднородного обменного взаимодействия; α — константа неоднородного обменного взаимодействия; $\mathbf{h}_g(r, t)$ — переменное дипольное поле; $\mathbf{h}(t) = e_j h \cos \omega t$ — стороннее поле накачки; \mathbf{H}_0^{eff} — постоянное эффективное поле, являющееся

суммой внутреннего поля H_{i0} и поля анизотропии H_0^a . Внутреннее поле H_i , складывается из внешнего поля подмагничивания и постоянного размагничивающего поля.

Для расчета эффективного поля анизотропии $H^a(r, t) = H_0^a + h^a(r, t)$ воспользуемся методом эффективных размагничивающих факторов анизотропии $H^a(r, t) = -\hat{N}M(r, t)$. Достоинством этого метода является то, что он позволяет учитывать влияние какого-либо одного или сразу нескольких видов анизотропии ферромагнетика путем подстановки в окончательные выражения компонент соответствующих тензоров \hat{N} . Нахождение компонент тензора \hat{N} каждого вида анизотропии представляет самостоятельную часть задачи, рассмотренную, например, в [11]. Ниже будут приведены значения компонент тензоров размагничивающих факторов кубической и одноосной анизотропии для конкретных ориентаций равновесной намагниченности и осей симметрии пленки.

Используя ранее развитый аппарат [10, 12], согласно которому переменное дипольное поле и переменная намагниченность представляются в виде Фурье-разложений по неоднородным плоским волнам, фурье-компоненты которых связаны с помощью функции Грина, а переменная намагниченность раскладывается в ряд по спин-волновым модам, перейдем от уравнения (1) к системе уравнения движения для спин-волновых амплитуд m_{nk}^p .

$$\begin{aligned} \frac{\partial}{\partial t} m_{n'k}^{1*} + ia_{n'k} m_{n'k}^1 + ibm_{n'k}^2 + i \sum_n [m_{nk}^1 C_{nn'} + m_{nk}^2 (p_{nn'} + q_{nn'})] &= -i\omega_s \cos \omega t m_{n'k}^1, \\ \frac{\partial}{\partial t} m_{n'k}^2 - ib^* m_{n'k}^1 - ia_{n'k} m_{n'k}^2 - i \sum_n [m_{nk}^1 (p_{nn'}^* - q_{nn'}^*) + m_{nk}^2 C_{nn'}] &= \\ &= +i\omega_s \cos \omega t m_{n'k}^2. \end{aligned} \quad (2)$$

В (2) обозначено

$$a_{nk} = \Omega_{nk} + \frac{\omega_x}{2} (\cos^2 \theta + N_{xx} + N_{yy}),$$

$$\begin{aligned} \Omega_{nk} &= |g| \mu_0 (H_{iz} - N_{zz} M_0) + \omega_x \alpha (k_z^2 + x_n^2), \\ \omega_x &= |g| \mu_0 M_0, \quad x_n = n\pi/L, \quad \omega_s(t) = |g| \mu_0 h \cos \omega t, \end{aligned}$$

$$b = \frac{\omega_x}{2} (\cos^2 \theta + N_{xx} - N_{yy} - 2iN_{xy}),$$

$$C_{nn'} = -\frac{\omega_x}{2} [P_{nn'} (c_1 + c_2) + iQ_{nn'} c_5],$$

$$p_{nn'} = -\frac{\omega_x}{2} P_{nn'} (c_1 - c_2 - 2ic_3), \quad q_{nn'} = -\frac{\omega_x}{2} Q_{nn'} (2c_4 + ic_5),$$

$$\begin{aligned} c_1 &= \cos^2 \theta - \sin^2 \theta \cos^2 \varphi, \quad c_2 = -\sin^2 \varphi, \\ c_3 &= \sin \varphi \cos \varphi \sin \theta, \quad c_4 = 2 \sin \varphi \cos \theta, \quad c_5 = \sin 2\theta \cos \varphi, \end{aligned}$$

где H_{iz} — проекция внутреннего поля на ось z ; L — толщина пленки, $n, n' = 0, 1, 2, \dots$. Дипольные матричные элементы $P_{nn}(k_z L)$, $Q_{nn'}(k_z L)$ зависят от состояния поверхностных спинов. Выражения для них приведены в [10]. Углы θ и φ (рис. 1) определяют направление равновесной намагниченности и могут быть найдены по заданной ориентации поля H_0 из решения статической задачи [11].

Анализ решения системы (2) показывает, что, так же как и в изотропных пленках [12], спектр спиновых волн в анизотропных пленках является много волновым, т. е. описывается набором дисперсионных кривых, каждая из которых

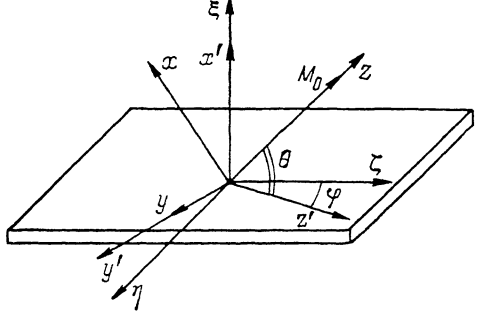


Рис. 1. Ориентация равновесной намагниченности и систем координат.

рых соответствует своей волне. Точное решение однородной системы (2) даёт закон дисперсии СВ, который записывается в неявной форме, что затрудняет анализ нелинейных процессов в ферромагнитных пленках. Аналитическое выражение для порога параметрического возбуждения спин-системы может быть легко найдено на основе приближенного дисперсионного уравнения, в явном виде описывающего закон дисперсии СВ $\omega_{nk}(k_z)$. Приближенное дисперсионное уравнение получим в диагональном $n=n'$ приближении, т. е. в предположении, что распределение n -й волны намагниченности по толщине пленки описывается одной парой спин-волновых мод. Такое предположение соответствует первому порядку теории возмущений при анализе спектра спиновых волн [12].

В диагональном приближении уравнение (2) принимает вид

$$\frac{\partial}{\partial t} m_{nk}^1 + iA_{nk}m_{nk}^1 + iB_{nk}m_{nk}^2 = i\omega_s(t)m_{nk}^1, \quad (3)$$

где

$$A_{nk} = \Omega_{nk} + \frac{\omega_m}{2} [\cos^2 \theta + N_{xx} + N_{yy} - P_{nn}(c_1 + c_2)], \quad (4)$$

$$B_{nk} = \frac{\omega_m}{2} [\cos^2 \theta + N_{xx} - N_{yy} - P_{nn}(c_1 - c_2) + 2i(P_{nn}c_3 - N_{xy})]. \quad (5)$$

Закон дисперсии дипольно-обменных СВ, следующий из (3) и комплексно сопряженного уравнения, находим с помощью преобразования Хольштейна—Примакова [13]

$$\omega_{nk}^2(k_z) = A_{nk}^2 - |B_{nk}|^2. \quad (6)$$

При отсутствии поля анизотропии уравнение (6) переходит в известные дисперсионные уравнения для СВ в перпендикулярно и касательно намагниченных пленках [8, 9].¹

Как следует из (3), поле накачки при определенных условиях может приводить к параметрическому возбуждению СВ. Используя обычную процедуру [13], получим формулу, определяющую порог возникновения нестабильности СВ в анизотропных ферромагнитных пленках,

$$h_n = \frac{2\omega_{nk} \left[\left(\frac{\omega}{2} - \omega_{nk} \right)^2 + \omega_{rnnk}^2 \right]^{1/2}}{|g| |\mu_0| |B_{nk}|}, \quad (7)$$

где ω_{rnnk} — феноменологически введенная частота релаксации СВ.

Остановимся на исследовании влияния кубической и одноосной анизотропии на порог параметрического возбуждения СВ при перпендикулярном и касательном намагничивании пленок ЖИГ, поскольку именно эти ситуации наиболее часто реализуются в экспериментах.

Касательное намагничивание. В случае касательного намагничивания пороговая формула (7) принимает вид

$$h_n = \frac{4\omega_{nk} \left[\left(\frac{\omega}{2} - \omega_{nk} \right)^2 + \omega_{rnnk}^2 \right]^{1/2}}{|g| |\mu_0 \omega_m| |P_{nn}(1 + \sin^2 \varphi) - 1 + N_{yy} - N_{xx}|^2 + 4N_{xy}^2|^{1/2}}. \quad (8)$$

Рассмотрим сначала влияние кубической анизотропии. Для анализа воспользуемся результатами решения задачи о нахождении компонент тензора N по заданному направлению вектора M_0 при произвольной кристаллографической ориентации пленки [14]. Выпишем выражения, определяющие компоненты

¹ Здесь и далее под касательно и перпендикулярно намагниченными пленками мы подразумеваем пленки, в которых вектор M_0 соответственно параллелен ($\theta = 0$) или перпендикулярен ($\theta = 90^\circ$) поверхности. Заметим, что вектор H_{z0} при этом может быть и не параллелен вектору M_0 .

тензора \hat{N} для двух наиболее часто встречающихся кристаллографических ориентаций пленки: а) ориентация {110}

$$N_{xx} = -3H^A \sin^2 \psi / M_0, \quad N_{yy} = -9H^A \sin^2 2\psi / 4M_0, \quad N_{xy} = 0,$$

$$N_{zz} = -H^A (\sin^4 \psi + 2 \cos^4 \psi) / M_0,$$

ψ — угол между M_0 и осью $\langle 100 \rangle$; б) ориентация {111}

$$N_{xx} = -2H^A / M_0, \quad N_{yy} = N_{zz} = -H^A / M_0, \quad N_{xy} = \sqrt{2} \sin 3\psi H^A / M_0,$$

где $H^A = K_1 / M_0$, K_1 — первая константа кубической анизотропии, ϕ — угол между M_0 и осью $\langle 100 \rangle$.²

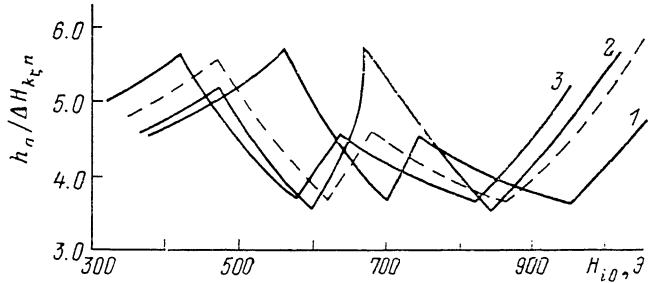


Рис. 2. Влияние кубической анизотропии на пороги нестабильности спиновых волн в пленках с ориентацией {110}.

$\omega/2\pi = 9$ ГГц, $\omega_M/2\pi = 4.9$ ГГц, $L = 0.25$ мкм, $H^A = 42$ Э. M_0 параллельна 1 — оси $\langle 100 \rangle$, 2 — оси $\langle 112 \rangle$, 3 — оси $\langle 111 \rangle$. Штриховая кривая — $H^A = 0$.

Рис. 2, 3 иллюстрируют влияние кубической анизотропии на пороговые зависимости $h_n = f(H_{i_0})$ в пленках ЖИГ с кристаллографическими ориентациями {110} и {111}. На каждом из этих рисунков построены пороговые кривые, соответствующие характерным ориентациям M_0 в плоскости пленки (т. е. определенным значениям угла ψ), а также пороговые зависимости, рассчитанные для изотропной пленки. Так же как и в случае отсутствия анизотропии,

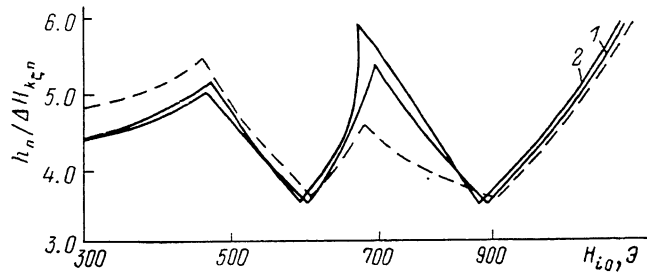


Рис. 3. Влияние кубической анизотропии на пороги нестабильности спиновых волн в пленках с ориентацией {111}.

Параметры те же, что и на рис. 2. 1 — M_0 параллельна оси $\langle 110 \rangle$, 2 — оси $\langle 112 \rangle$. Штриховая кривая — $H^A = 0$.

пороговые зависимости для касательно намагниченных анизотропных пленок имеют осциллирующий характер. Минимальные значения h_n соответствуют порогам параметрического возбуждения стоячих СВ ($k_\zeta = 0$). Наличие анизотропии в пленках обеих ориентаций приводит к угловой зависимости порога $h_n = f(\psi)$.

Рассмотрим, как проявляется влияние анизотропии при ориентации вектора M_0 вдоль характерных кристаллографических осей, лежащих в плоскости {110}.

² Приведенные выражения для компонент тензора \hat{N} записаны с учетом только первой константы анизотропии K_1 . При необходимости нетрудно учесть и вторую константу анизотропии K_2 [11].

При направлении M_0 вдоль кристаллографических осей $\langle 100 \rangle$, $\langle 111 \rangle$, что соответствует $\psi=0$ и $\phi\approx 54^\circ$, происходит только смещение пороговых кривых по полю H_{s0} без изменения порогов возбуждения СВ. В случае, когда вектор M_0 параллелен оси $\langle 100 \rangle$, величина смещения в сравнении с изотропной пленкой составляет около -80 Э, а когда вектор M_0 направлен вдоль оси $\langle 111 \rangle$, то около 50 Э (для $K_1 < 0$). При ориентации M_0 вдоль оси $\langle 112 \rangle$, помимо смещения пороговой кривой по полю, происходит трансформация ее формы, связанная с изменением порогов возбуждения бегущих СВ. Пороги стоячих СВ увеличиваются (при $K_1 < 0$) в сравнении с изотропной пленкой на 2% .

В пленке с ориентацией $\{111\}$ анизотропия также приводит к изменению порогов возбуждения СВ и к смещению пороговой зависимости по полю H_{s0} , но в отличие от пленки с ориентацией $\{110\}$ эти эффекты проявляются слабо. Так, максимальное изменение порога при изменении ориентации вектора M_0 в плоскости пленки составляет доли процента, а сдвиг пороговой кривой по полю не превышает 20 Э.

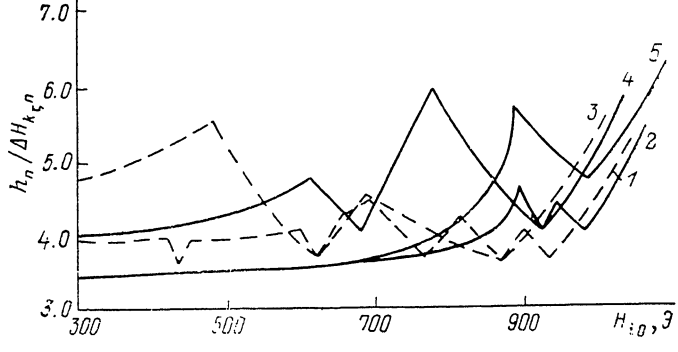


Рис. 4. Влияние одноосной нормальной анизотропии на пороги нестабильности спиновых волн в пленках разной толщины.

$\omega/2\pi=9$ ГГц, $\omega_M/2\pi=4.9$ ГГц; L , мкм: 1, 2 — 0.5; 3—5 — 0.25; H^U , Э: 2, 4 — 170; 5 — 380, штриховая кривая — 0.

Оценим теперь влияние одноосной нормальной анизотропии на пороги возбуждения СВ в касательно намагниченных пленках. В этом случае компоненты тензора \hat{N} равны [15] $N_{xx}=-2H^U/M_0$, $N_{yy}=N_{zz}=N_{xy}=0$, где $H^U=K^U/M_0$, K^U — константа одноосной анизотропии.

Как показывают численные расчеты (рис. 4), при определенных комбинациях параметров пленки, например при $H^U=170$ Э, $L=0.5$ мкм, одноосная анизотропия типа «легкая ось» приводит к исчезновению осцилляций на зависимости $h_n=f(H_{s0})$. Иными словами, поле одноосной анизотропии по-разному влияет на эллиптичность поляризации стоячих и бегущих СВ, приводя к увеличению порогов стоячих СВ и к уменьшению порогов коротких поперечных СВ, следствием чего и является качественное изменение зависимости $h_n=f(H_{s0})$. Очевидно, что в пленках с такими параметрами невозможно возбуждение высших типов стоячих СВ, которое наблюдалось в тонких слабоанизотропных пленках [16].

Перпендикулярное намагничивание. В случае перпендикулярного намагничивания пороговая формула (7) принимает вид

$$h_n = \frac{4\omega_{nk} \left[\left(\frac{\omega}{2} - \omega_{nk} \right)^2 + \omega_{rnk}^2 \right]^{1/2}}{|g|\mu_0 |N_{yy} - N_{xx} - P_{nn} \cos 2\varphi|^2 + [2N_{xy} - P_{nn} \sin 2\varphi]^2}^{1/2}. \quad (9)$$

Рассмотрим влияние кубической анизотропии на пороги нестабильности СВ для трех следующих ориентаций пленок: а) ориентация $\{111\}$: $N_{xx}=-2H^A/M_0=N_{yy}$, $N_{zz}=-2H^A/3M_0$, $N_{xy}=0$; б) ориентация $\{100\}$: $N_{xx}=N_{yy}=N_{xy}=0$, $N_{zz}=-2H^A/M_0$; в) ориентация $\{110\}$: $N_{xx}=3(\cos 2\psi - 1)H^A/2M_0$, $N_{yy}=$

$= -3H^4(\cos 2\phi + 1)/2M_0$, $N_{zz} = -H^4/M_0$, $N_{xy} = -3 \sin 2\phi H^4/2M_0$, где ϕ — угол между осью $\langle 100 \rangle$ и осью x системы координат.

В случаях а и б $N_{xx} = N_{yy}$, $N_{xy} = 0$, поэтому анизотропия не изменяет порогов возбуждения СВ, а приводит в сравнении с изотропной пленкой лишь к сдвигу пороговых зависимостей по полю. В частности, для пленки с ориентацией $\{111\}$ этот сдвиг составляет 50 Э, а для $\{100\}$ — 70 Э. Физически это связано с тем, что в пленках данных ориентаций поле анизотропии не влияет на эллиптичность поляризации СВ.

В пленке с ориентацией $\{110\}$ эллиптичность СВ зависит от ориентации кристаллографических осей в плоскости пленки. Поэтому влияние поля анизотропии (помимо смещения по полю зависимости $k_u = f(H_{z0})$) приводит к тому, что порог параметрического возбуждения бегущих СВ ($k_\zeta \neq 0$) становится зависимым от поля анизотропии H^4 и направления распространения волны относительно кристаллографических осей пленки. Порог возбуждения стоячих СВ ($k_\zeta = 0$, $P_{nn} = 0$) в отличие от изотропной пленки становится конечным и определяется величиной поля анизотропии H^4 .

В заключение отметим, что полученные аналитические соотношения для закона дисперсии дипольно-обменных спиновых волн и порогов параметрического возбуждения позволяют оценить влияние любого вида магнитной анизотропии на нестабильность СВ в ферромагнитных пленках. Рассмотренные частные случаи соответствуют наиболее распространенным на практике взаимным ориентациям равновесной намагниченности и осей симметрии пленки и демонстрируют существенное влияние анизотропии на параметрическую нестабильность спиновых волн даже в случае слабоанизотропных пленок ЖИГ.

Авторы выражают благодарность С. В. Белякову за помощь в работе.

Список литературы

- [1] Крученко И. В., Мелков Г. А., Уханов С. А. // ФТТ. 1984. Т. 26. Вып. 11. С. 3433—3436.
- [2] Ползикова Н. И., Раевский А. О., Темирязев А. Г. // ФТТ. 1984. Т. 26. Вып. 11. С. 3506—3508.
- [3] Калиникос Б. А., Ковшиков Н. Г., Кожусь Н. В. // ФТТ. 1984. Т. 26. Вып. 9. С. 2867—2869.
- [4] Зильберман Л. Е., Никитов С. А., Темирязев А. Г. // Письма в ЖЭТФ. 1985. Т. 42. Вып. 3. С. 92—94.
- [5] Гусев Б. Н., Гуревич А. Г., Анисимов А. Н. и др. // ФТТ. 1986. Т. 28. Вып. 10, С. 2896—2974.
- [6] Темирязев А. Г. // ФТТ. 1987. Т. 29. Вып. 2. С. 313—319.
- [7] Patton C. E. // Phys. sol. (b). 1979. Vol. 92. P. 211—220.
- [8] Вендик О. Г., Калиникос Б. А., Чарторижский Д. Н. // ФТТ. 1974. Т. 16. Вып. 9. С. 2757—2759.
- [9] Вендик О. Г., Калиникос Б. А., Чарторижский Д. Н. // ФТТ. 1977. Т. 19. Вып. 2. С. 387—396.
- [10] Калиникос Б. А. // Изв. вузов. Сер. Физика. 1981. Т. 24. № 8. С. 42—56.
- [11] Гуревич А. Г. Магнитный резонанс в ферритах и антиферромагнетиках. М.: Наука. 1973. 592 с.
- [12] Kalinikos B. A., Slavin A. N. // J. Phys. C. 1986. Vol. 19. N 12. P. 7013—7033.
- [13] Ахиезер А. И., Барьягаш В. Г., Пелетинский С. В. Спиновые волны. М.: Наука, 1967. 367 с.
- [14] Беляков С. В. // Электронная техника. Сер. Электронника СВЧ. 1984. № 6 (366). С. 35—42.
- [15] Беляков С. В. // Электронная техника. Сер. Электронника СВЧ. 1986. № 8 (392). С. 26—29.
- [16] Калиникос Б. А., Ковшиков Н. Г., Кожусь Н. В. // ФТТ. 1985. Т. 27. Вып. 9. С. 2794—2796.